

Metoda elementului finit (MEF)

2 ore curs + 2 ore laborator

Prof.dr. ing. Adrian PASCU
Catedra Organe de mașini și Tribologie

Formarea notei:

- **Lucrări laborator: 40%**
- **Test final laborator: 20%**
- **Bonificație prez. curs 20%**
- **Test final curs : 20%**

“Although the finite element method can make a good engineer better, it can make a poor engineer more dangerous.”

“În timp ce metoda elementului finit poate face ca un inginer bun să devină mai bun, ea poate face ca un inginer slab să devină mai periculos.”

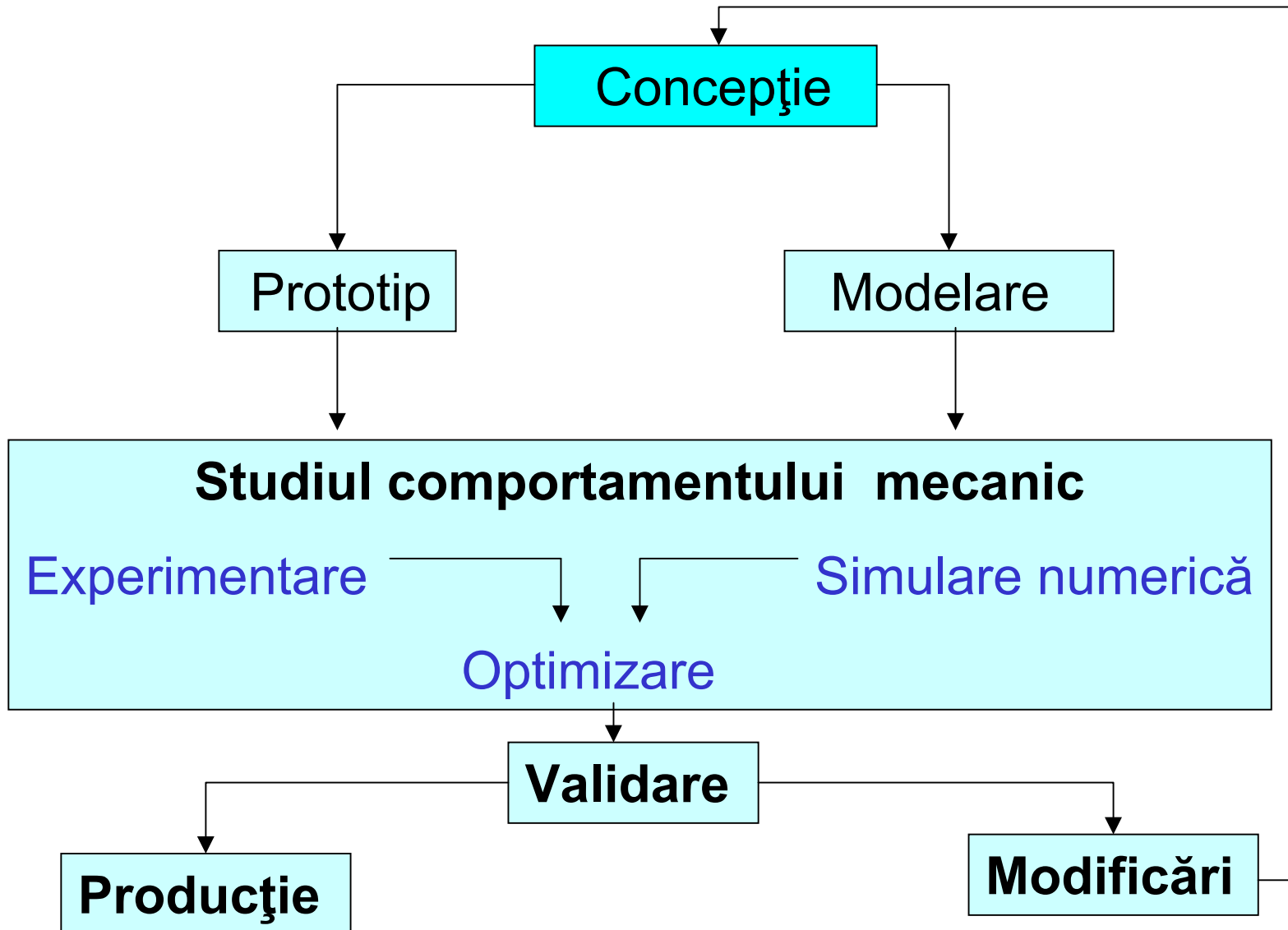
Bibliografie

- **Bathe, K.-J.:**
Finite-Elemente-Methoden.
Berlin, Heidelberg, New
York: Springer 1986
- **Zienkiewicz, O.C.:**
The Finite Element Method.
McGraw-Hill 1977
- **Huebner, H. K. :**
The Finite Element Method
for Engineers
John Willey & Sons 1975
- **Blumenfeld, M**
Introducere în metoda elementelor
finite
Ed. Tehnica, 1995
- **Gârbea , D.**
Analiză cu elemente finite
Ed. Tehnică, 1990
- **Gafițanu, M. ș.a.**
Elemente finite și de frontieră cu
aplicații la calculul organelor de
mașini
Ed. tehnică , 1987
- **Pascariu, I.**
Elemente finite Concepte-Aplicații
Ed. Militară , 1985

Scurt istoric

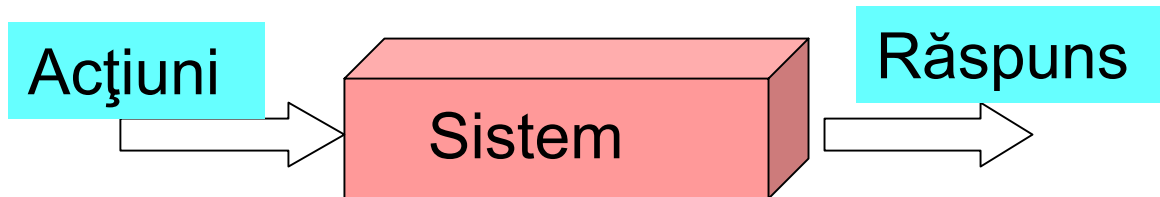
- 1940': Utilizarea metodelor matriciale în calculul structurilor (Hrennicoff -1941 și formulare variațională R.Courant- 1943)
- 1950': Introducerea procedurilor de calcul bazate pe metoda deplasărilor și respectiv a rigidităților pentru calculul structurilor complexe din aviație - formularea energetică - Argyris-1954)
- 1970': Utilizarea efectivă și eficientă a MEF pentru calculul structurilor în industria aerospațială (NASA) și apoi în cea constructoare de automobile (NASA->NASTRAN)
- **1960**: Impunerea termenului de element finit "Finite Element"- R.Clough-1960
- 1980': Metoda câștigă teren și în alte domenii: mecanica fluidelor, electromagnetism etc.
- 1990': FEM se impune ca "unealtă" standard (numerică) pentru calculele inginerești

Organigrama etapelor la realizarea unei piese mecanice



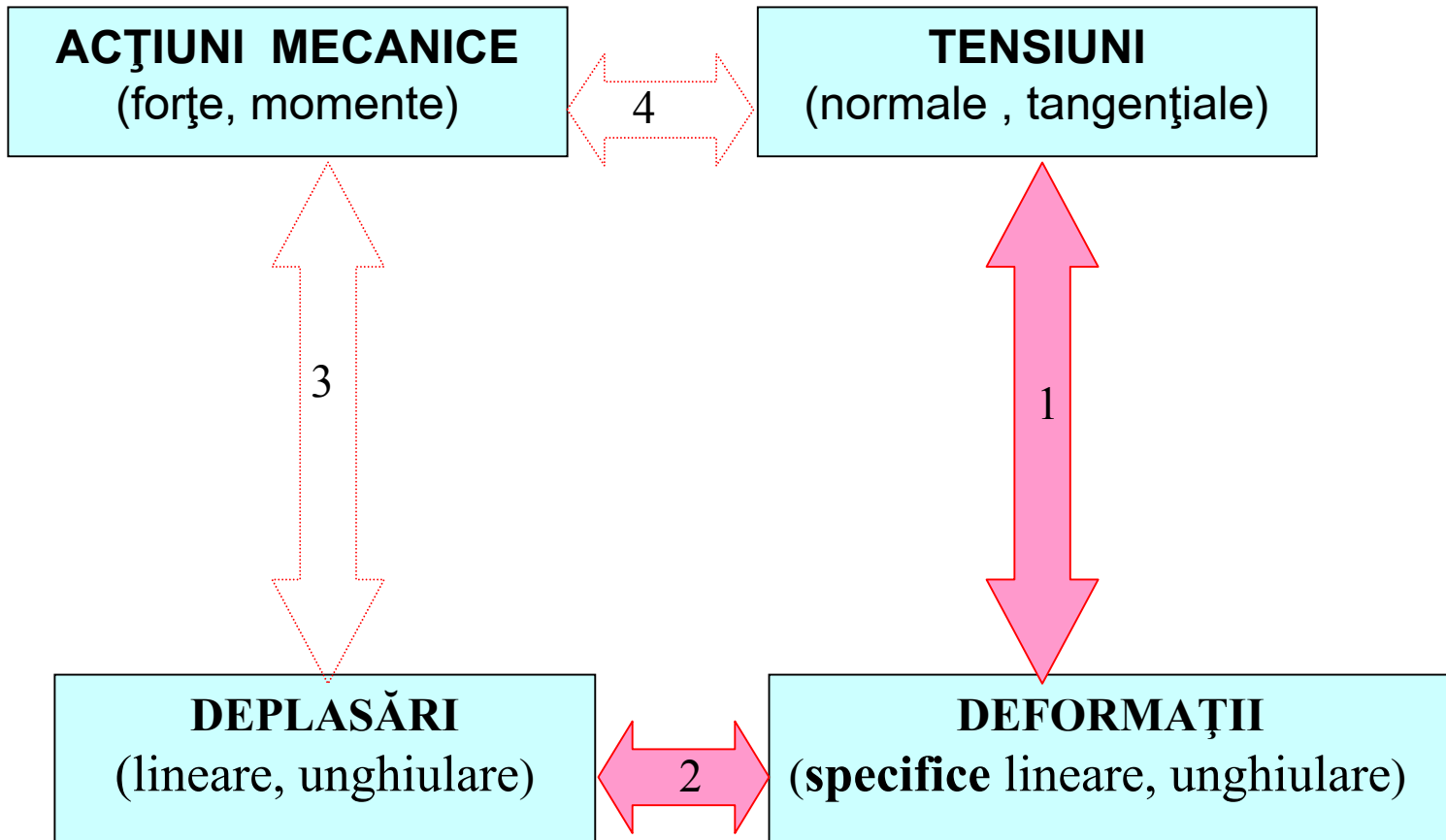
- **Proiectarea modernă trebuie să facă față multor cerințe**
- **O sarcină majoră este determinarea comportării unei structuri mecanice sau a unor elemente structurale sub efectul acțiunilor exterioare**

• **Concret, întrebarea esențială este : care este răspunsul structurii atunci când este supusă acțiunilor exterioare (variații de forțe, de temperaturi etc.)**



**STAREA GLOBALĂ
A STRUCTURII (macro)**

**STAREA LOCALĂ
A MATERIALULUI (micro)**



Relații generale

$$1 \quad \{\sigma\} = [D] * \{\varepsilon\}$$

$$2 \quad \{\varepsilon\} = [B] * \{\delta\}$$

$$3 \quad \{F_i\} = [K] * \{\delta_i\}$$

(în condițiile acceptării unei discretizări și a unei funcții predefinite pentru deplasări)

$$4 \quad \{\sigma\} = [D] * [B] * \{\delta_i\}$$

(în condițiile acceptării unei discretizări și a unei funcții predefinite pentru deplasări)

Particularizare pentru o bară simplă sollicitată axial

$$1^* \quad \sigma = E * \varepsilon$$

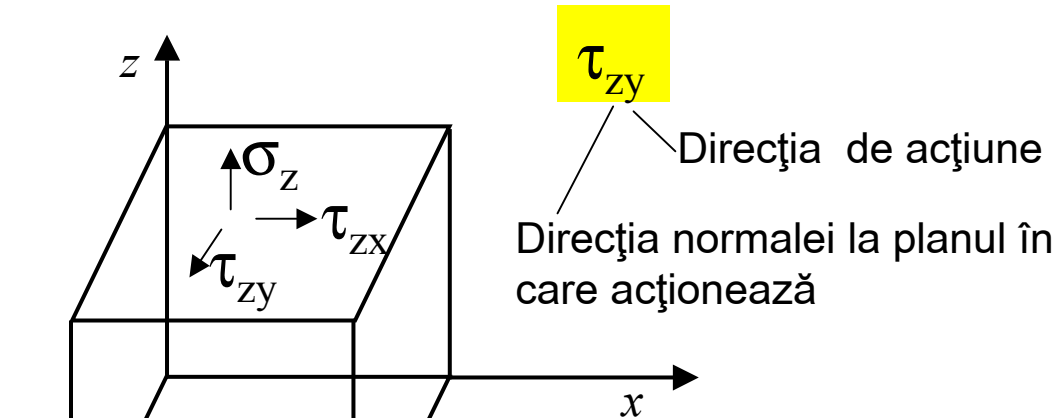
$$2^* \quad \varepsilon = (1/L) \Delta l$$

$$3^* \quad F = (E * A / L) \Delta l$$

$$F = k * u$$

$$4^* \quad \sigma = F / A$$

Tensorul tensiunilor



$$\begin{vmatrix}
 \sigma_x & \tau_{xy} & \tau_{xz} \\
 \tau_{yx} & \sigma_y & \tau_{yz} \\
 \tau_{zx} & \tau_{zy} & \sigma_z
 \end{vmatrix}$$

$$\left\{ \begin{array}{c} \sigma_x \\ \sigma_y \\ \sigma_z \\ \tau_{xy} \\ \tau_{xz} \\ \tau_{yz} \end{array} \right\}$$

Relația deformații specifice-deplasări

$$\varepsilon_x = \frac{\partial u}{\partial x} \quad \gamma_{xy} = \frac{\partial u}{\partial y} + \frac{\partial v}{\partial x}$$

$$\varepsilon_y = \frac{\partial v}{\partial y} \quad \gamma_{xz} = \frac{\partial u}{\partial z} + \frac{\partial w}{\partial x}$$

$$\varepsilon_z = \frac{\partial w}{\partial z} \quad \gamma_{yz} = \frac{\partial w}{\partial y} + \frac{\partial v}{\partial z}$$

u, v, w , sunt componentele deplasării după direcțiile x, y și z.

Relația deformații specifice-deplasări

$$\{\boldsymbol{\varepsilon}\} = \begin{Bmatrix} \varepsilon_x \\ \varepsilon_y \\ \varepsilon_z \\ \gamma_{xy} \\ \gamma_{xz} \\ \gamma_{yz} \end{Bmatrix} = \begin{bmatrix} \frac{\partial}{\partial x} & 0 & 0 \\ 0 & \frac{\partial}{\partial y} & 0 \\ 0 & 0 & \frac{\partial}{\partial z} \\ \frac{\partial}{\partial y} & \frac{\partial}{\partial x} & 0 \\ \frac{\partial}{\partial z} & 0 & \frac{\partial}{\partial x} \\ 0 & \frac{\partial}{\partial z} & \frac{\partial}{\partial y} \end{bmatrix} \begin{Bmatrix} u_{(x,y,z)} \\ v_{(x,y,z)} \\ w_{(x,y,z)} \end{Bmatrix}$$

Sub formă matricială:

$$\{\boldsymbol{\varepsilon}\} = [\mathbf{B}] \{\boldsymbol{\delta}_{(x,y,z)}\}$$

Relația tensiuni-deformații specifice (legea lui Hooke generalizată)

$$\begin{Bmatrix} \sigma_x \\ \sigma_y \\ \sigma_z \\ \tau_{xy} \\ \tau_{xz} \\ \tau_{yz} \end{Bmatrix} = \begin{bmatrix} d_{11} & d_{12} & d_{13} & d_{14} & d_{15} & d_{16} \\ & d_{22} & d_{23} & d_{24} & d_{25} & d_{26} \\ & & d_{33} & d_{34} & d_{35} & d_{36} \\ & & & d_{44} & d_{45} & d_{46} \\ & & & & d_{55} & d_{56} \\ & & & & & d_{66} \end{bmatrix} \begin{Bmatrix} \varepsilon_x \\ \varepsilon_y \\ \varepsilon_z \\ \gamma_{xy} \\ \gamma_{xz} \\ \gamma_{yz} \end{Bmatrix}$$

sim

Sub formă matricială:

$$\{\boldsymbol{\sigma}\} = [\boldsymbol{D}] \{\boldsymbol{\varepsilon}\}$$

Pentru materiale omogene, izotrope, cu comportare lineară:

$$\begin{Bmatrix} \sigma_x \\ \sigma_y \\ \sigma_z \\ \tau_{xy} \\ \tau_{yz} \\ \tau_{zx} \end{Bmatrix} = \frac{E}{(1-\nu)(1-2\nu)} \begin{bmatrix} 1-\nu & \nu & \nu & 0 & 0 & 0 \\ \nu & 1-\nu & \nu & 0 & 0 & 0 \\ \nu & \nu & 1-\nu & 0 & 0 & 0 \\ 0 & 0 & 0 & \frac{1-2\nu}{2} & 0 & 0 \\ 0 & 0 & 0 & 0 & \frac{1-2\nu}{2} & 0 \\ 0 & 0 & 0 & 0 & 0 & \frac{1-2\nu}{2} \end{bmatrix} \begin{Bmatrix} \varepsilon_x \\ \varepsilon_y \\ \varepsilon_z \\ \gamma_{xy} \\ \gamma_{yz} \\ \gamma_{zx} \end{Bmatrix}$$

Notă: $G = \frac{E}{2(1-\nu)}$

Pentru starea plană de tensiuni:

$$\sigma_z = 0 \quad \varepsilon_z = -\frac{\nu}{E}(\sigma_x + \sigma_y) - \textit{se neglijeaza}$$

rezultă:

$$\begin{Bmatrix} \sigma_x \\ \sigma_y \\ \tau_{xy} \end{Bmatrix} = \frac{E}{(1-\nu^2)} \begin{bmatrix} 1 & \nu & 0 \\ \nu & 1 & 0 \\ 0 & 0 & \frac{1-\nu}{2} \end{bmatrix} \begin{Bmatrix} \varepsilon_x \\ \varepsilon_y \\ \gamma_{xy} \end{Bmatrix}$$

Pentru starea plană de deformății:

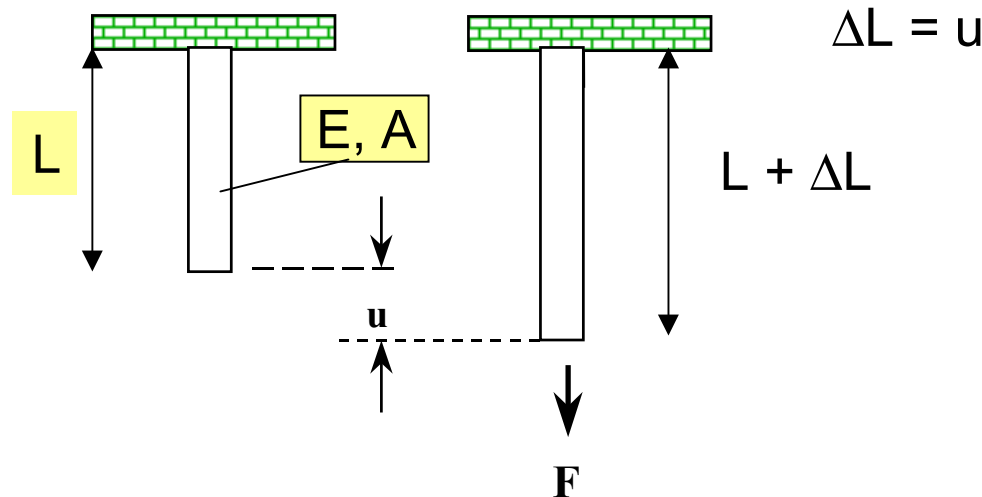
$$\varepsilon_z = 0$$

$$\sigma_z = \frac{E}{(1+\nu)(1-2\nu)} \left[(1-\nu)\varepsilon_x + \nu\varepsilon_y \right]$$

se neglijeaza

$$\begin{Bmatrix} \sigma_x \\ \sigma_y \\ \tau_{xy} \end{Bmatrix} = \frac{E}{(1+\nu)(1-2\nu)} \begin{bmatrix} 1-\nu & \nu & 0 \\ \nu & 1-\nu & 0 \\ 0 & 0 & \frac{1-2\nu}{2} \end{bmatrix} \begin{Bmatrix} \varepsilon_x \\ \varepsilon_y \\ \gamma_{xy} \end{Bmatrix}$$

- Relații analitice directe se pot obține numai pentru cazuri particulare simple, cum sunt structurile tip bară supuse la sollicitări simple. Cel mai simplu exemplu este bara sollicitată axial:



$$\sigma = \frac{F}{A}$$

$$\sigma = E \cdot \varepsilon$$

$$\varepsilon = \frac{\Delta L}{L} = \frac{1}{L} u$$

$$F = \frac{E \cdot A}{L} \cdot u$$

$$F = k \cdot u$$

Metode de calcul numeric

- Programe matematice generale: **Mathcad, Mathematica, Maple, Matlab**
- Programe speciale care prelucrează și adaptează formulele de calcul
 - de ex. metodologii de calcul standardizate, nomograme
- Metode numerice
 - Metoda diferențelor finite
 - Metoda elementelor de frontieră
 - Metoda elementelor finite (MEF) (FEM)

Principiul de bază al procedurilor numerice

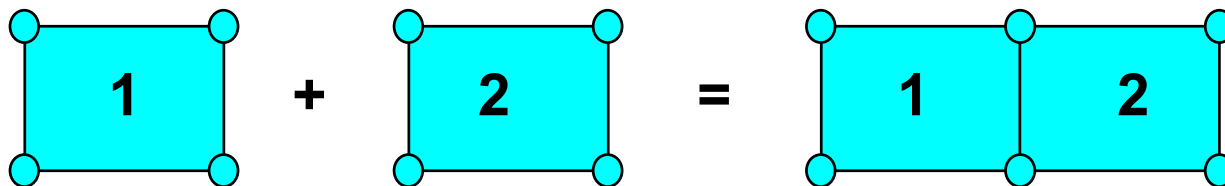
- Ecuațiile diferențiale descriu comportarea structurii la nivelul unei particule infinitezimale
 - pt. probleme de rezistență > Teoria elasticității
 - pt. mecanica fluidelor > Ecuațiile Navier-Stokes
 - pt. câmpuri magnetice > Ecuațiile Maxwell
 - pt. transfer de căldură în solide > Ecuația Fourier
- Funcția pe care o descrie ecuația diferențială este o mărime caracteristică:
 - pt. probleme de rezistență > deplasarea
 - pt. mecanica fluidelor > viteza, presiunea
 - pt. câmpuri magnetice > potențialul magnetic
 - pt. transfer de căldură > temperatura

Principiul de bază al procedurilor numerice

- Scopul este să obțină soluția pentru această funcție. Celelalte mărimi rezultă din prelucrarea funcției
- Pentru soluționarea ecuațiilor diferențiale se stabilește o **reprezentare aproximativă** pentru funcția necunoscută.
- Prin procedurile specifice metodelor de rezolvare numerică (**Utilizarea diferențelor, a dezvoltărilor în serie etc.- care implică discretizarea**) problema descrisă de ecuația diferențială se transformă într-un sistem de ecuații algebrice.
- Prin soluționarea sistemului de ecuații se determină valorile mărimii caracteristice **într-un număr finit de puncte** și respectiv coeficienții care permit definirea concretă a funcției de aproximare.

Metoda Elementului Finit (MEF)

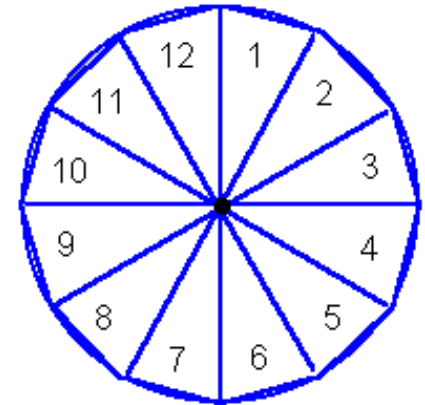
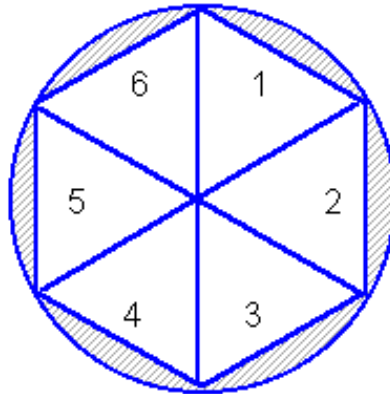
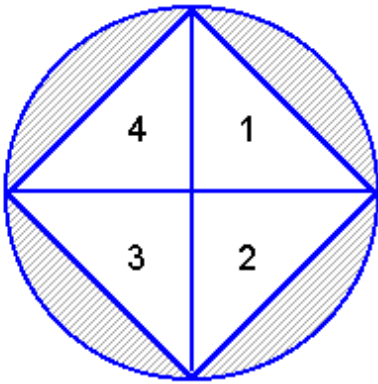
- Discretizarea - Funcția de definește numai pentru domenii mici. Aceasta permite ca pentru descrierea comportării ei în interiorul domeniului să se poată alege funcții de formă simple, de ordin inferior.
- Funcția de aproximare pentru întreaga structură rezultă din asamblarea funcțiilor domeniilor individuale, parțiale, mici.
- Aceste domenii individuale sunt denumite elemente. Punctele în care se realizează legătura dintre elemente sunt denumite noduri.



Metoda Elementului Finit (MEF)

O analogie: determinarea ariei unui cerc, considerând că se cunoaște numai formula de calcul a ariei unui triunghi:

$$A_{tr} = b h/2 \quad \Longrightarrow \quad A_{cerc} = \sum_{i=1}^n A_{tri}$$



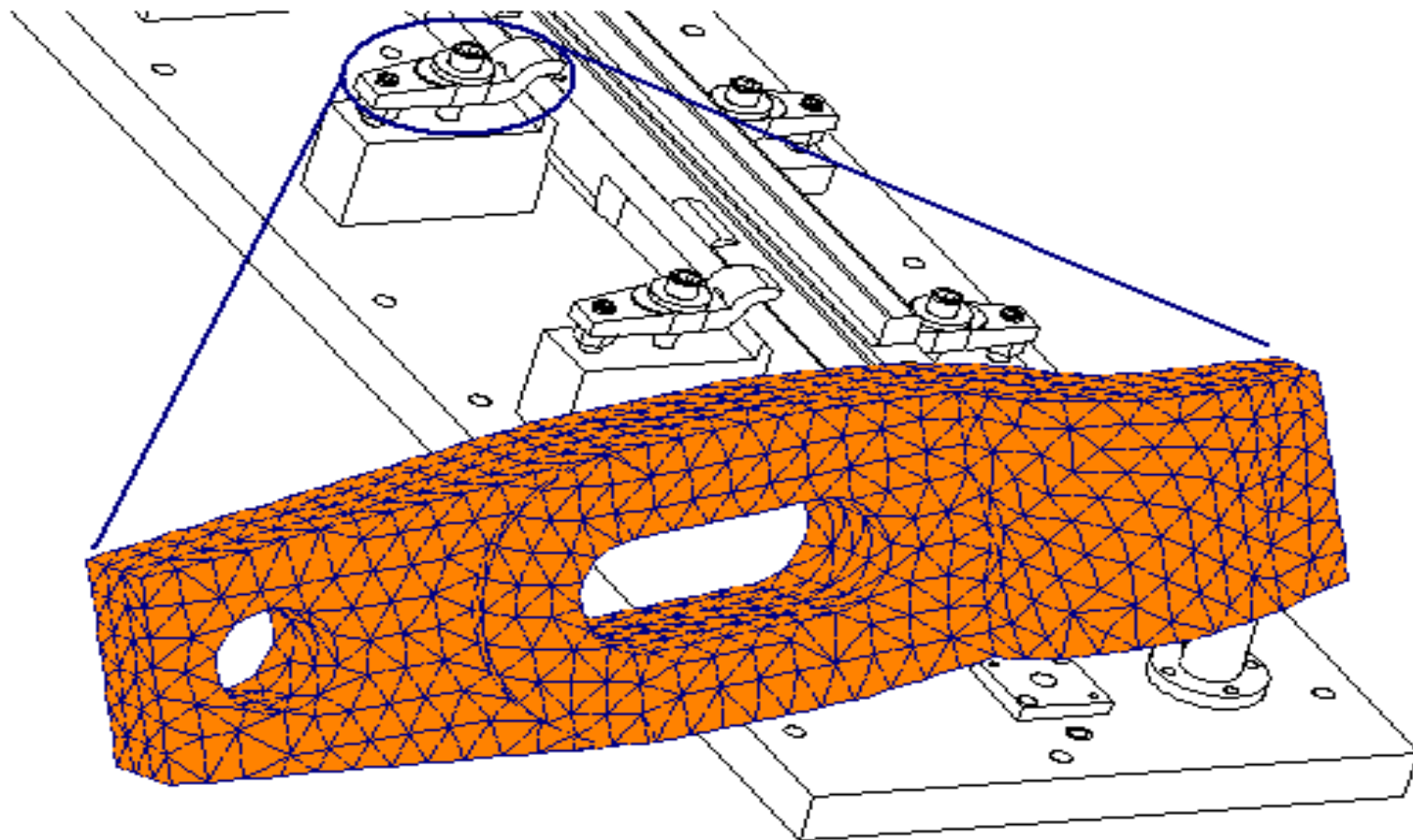
de reținut:

- utilizarea unei aproximări bazată pe folosirea de elemente mai simple, pentru care avem la dispoziție o soluție;

- sporirea exactității calculului prin rafinarea discretizării

Metoda Elementului Finit (MEF)

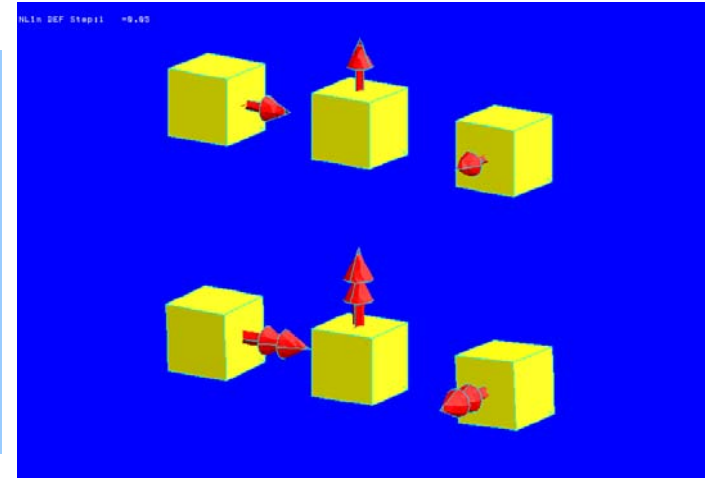
Se pot analiza astfel structuri cu forme mai complexe



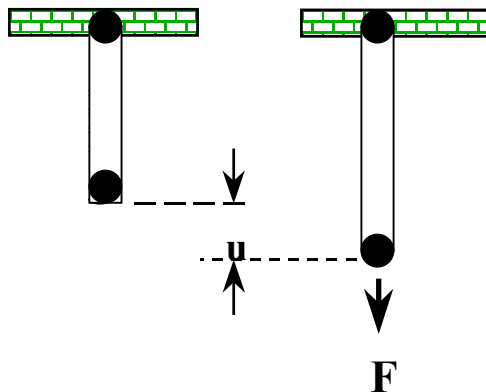
Entitățile cu care operează Metoda elementului finit sunt **nodurile** și **elementele**

Mărimea fizică urmărită pentru calculul structurilor mecanice este deplasarea. - în urma discretizării : deplasarea nodurilor.

Pentru un nod, ca și pentru un corp există 6 deplasări posibile, denumite și grade de libertate (DOF): trei translații, notate u, v, w și trei rotații, notate rx, ry, rz . Pentru cazuri particulare numărul acestor deplasări este mai redus.



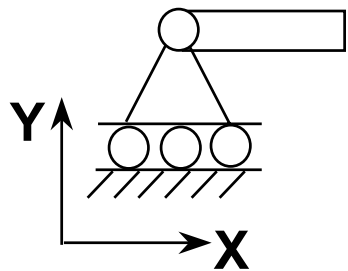
Exemplu:



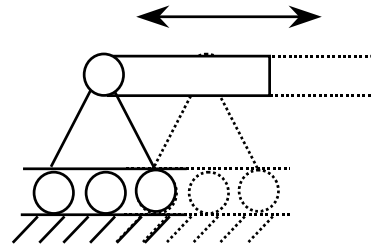
Pentru nodul unui element de structură sollicitat uniaxial, singura deplasare ce intervine este u

Pentru noduri care intervin în condițiile de frontieră:

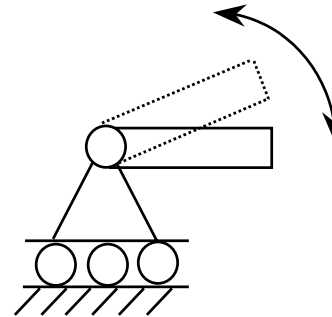
Rezemarea simplă (2D)



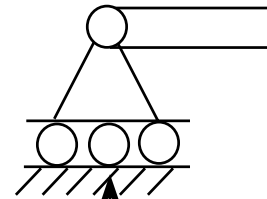
$$v=0$$



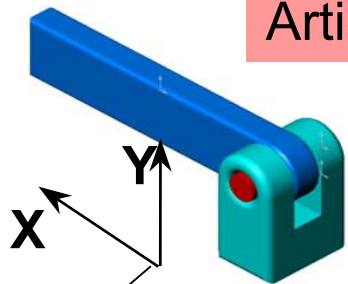
Sunt permise rz și translația u



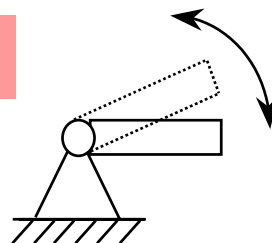
În plan preia forțe F_y , nu preia momente și F_x



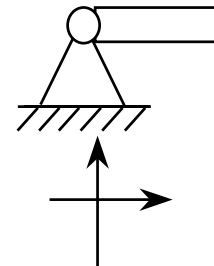
Articulația (2D)



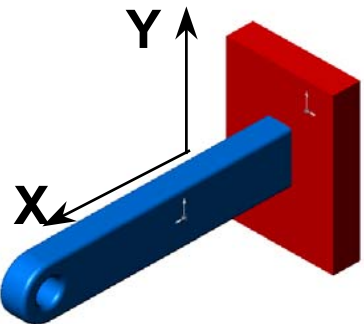
$$u=0; v=0$$



Este permis rz

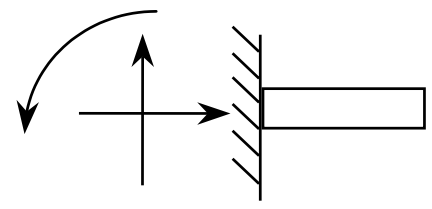
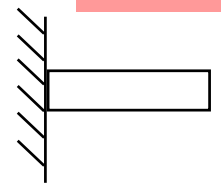


Preia în plan forțe F_x și F_y , nu preia momente



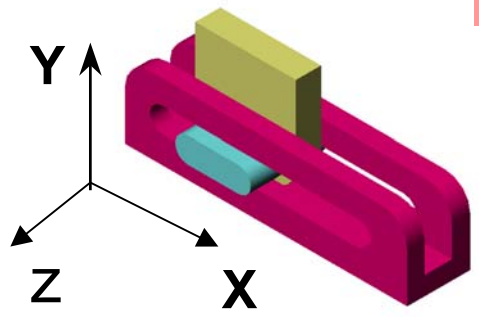
$u=0; v=0; r_z = 0$

Încastrarea



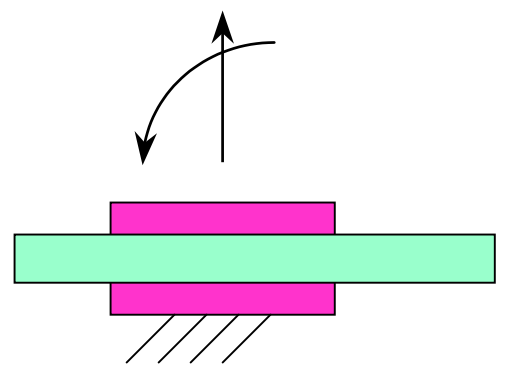
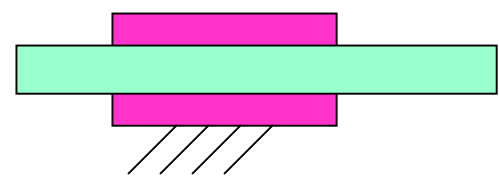
Nu permite nici o deplasare

În plan preia forțe F_x și F_y precum și momente



$v=0; r_z = 0$

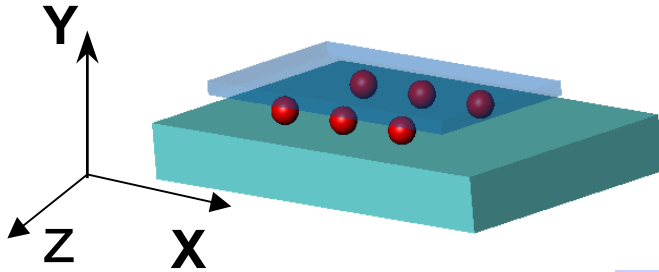
Ghidarea



Permite numai translația u

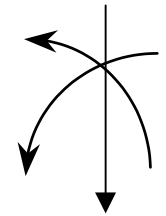
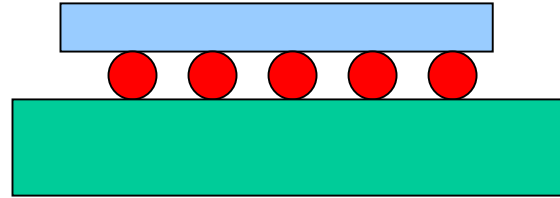
În plan preia forțe F_y și precum și momente M_z

Sprijinirea plană



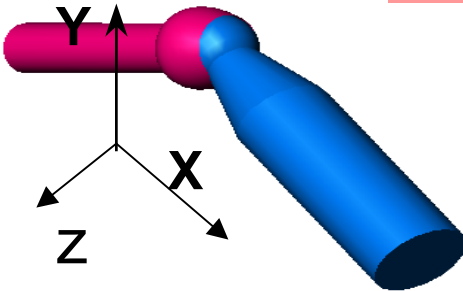
$$v=0; r_x=0; r_y=0$$

Permite deplasările u și v precum și rotația r_y



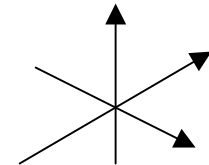
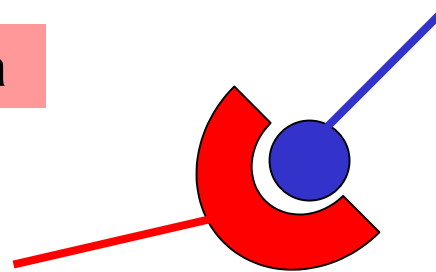
Preia forțe verticale F_y și momente M_x, M_z

Articulația sferică



$$u=0; v=0; w=0$$

Permite toate rotațiile, nu permite nici o deplasare

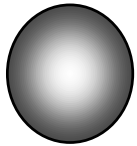


Preia forțe după toate direcțiile, nu preia momente

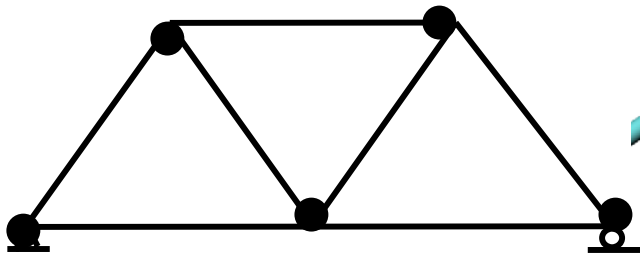
Elementele se diferențiază:

- după geometrie
- după tipul de încărcare suportat
- legea de comportare a materialului

Exemple



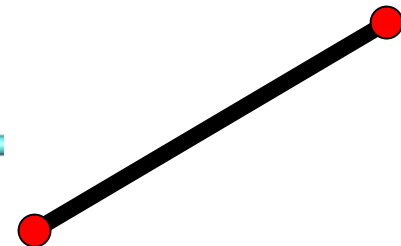
Masă concentrată (se abstractizează cu un punct)



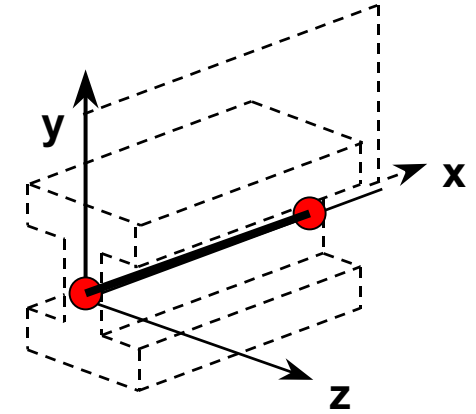
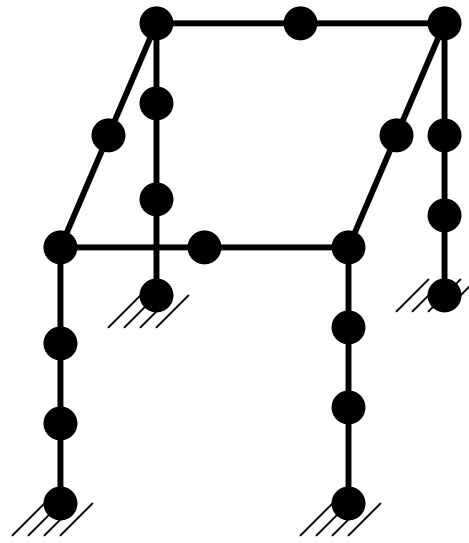
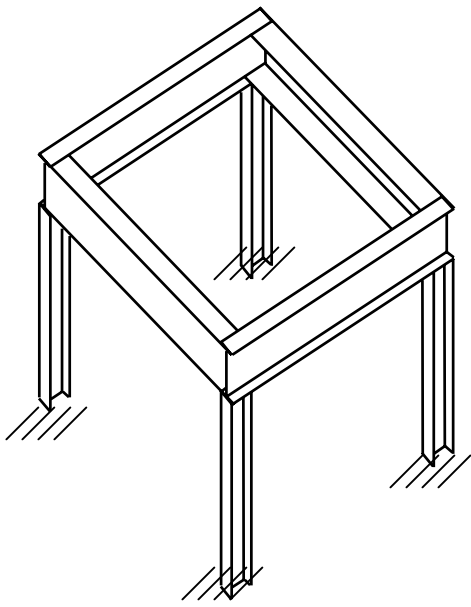
Structură din bare articulate
(sunt abstractizate ca linii)

Modelare element finit

● Element cu 1
nod - mass

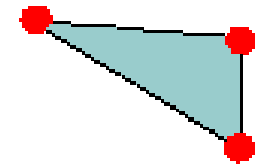
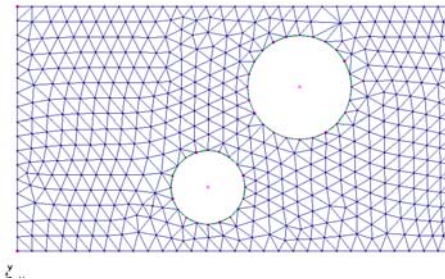
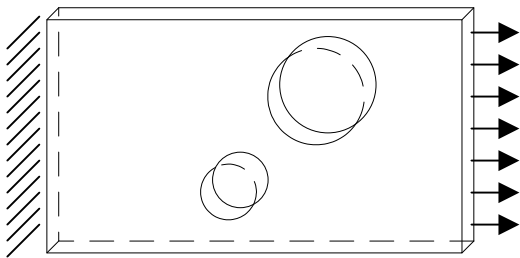


Element bară cu 2 noduri
(tip linie) - truss



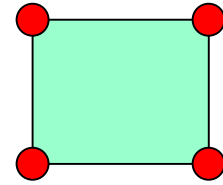
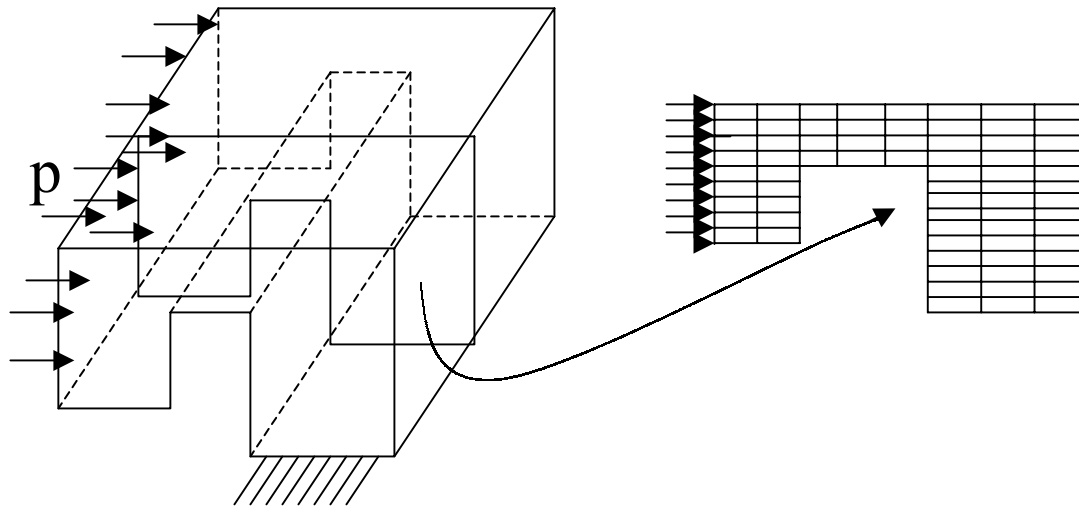
Structură din profile sudate (se modelează cu grinzi, abstractizate ca linii)

Element grindă cu 2 noduri (tip linie) - beam



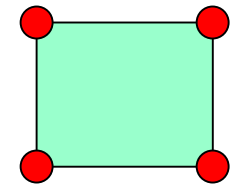
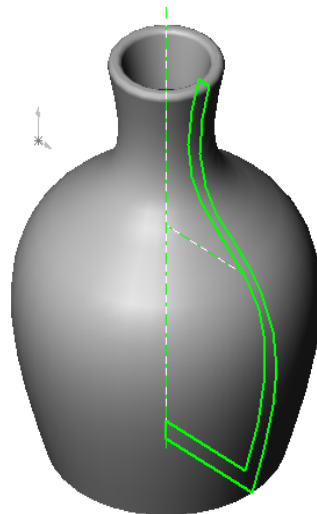
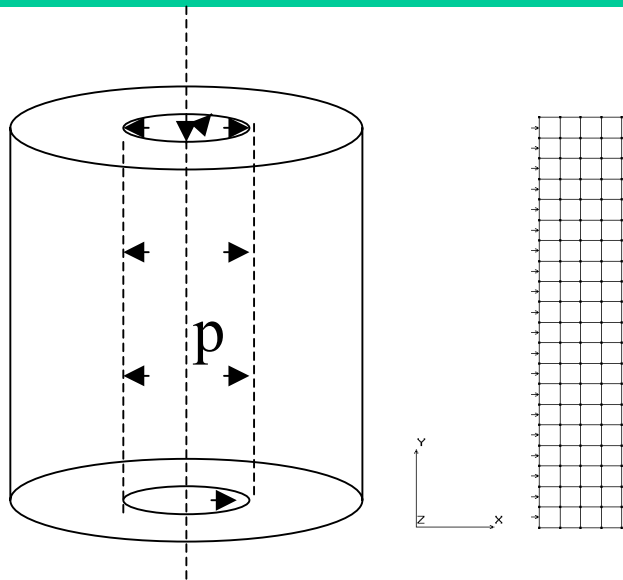
Structură plană subțire, solicitată în planul ei (se modelează ca o suprafață)

Element de stare plană de tensiuni cu trei noduri (tip suprafață) - triang



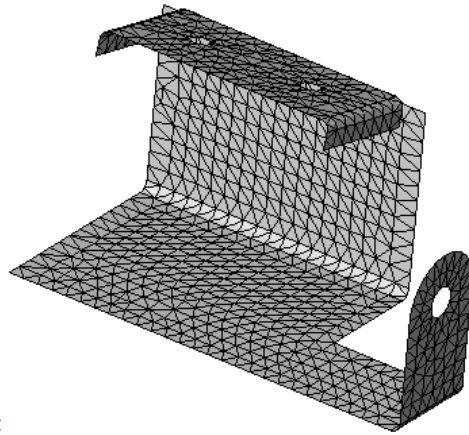
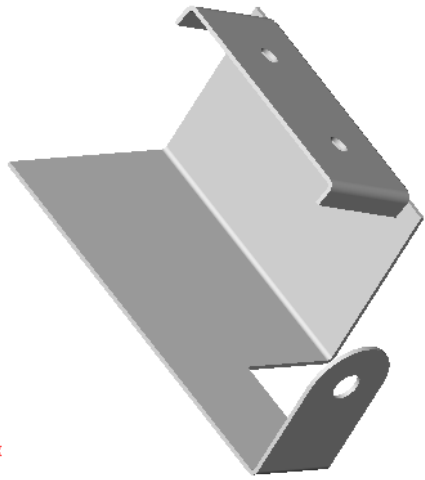
Element de stare plană de deformații cu 4 noduri (tip suprafață) - quad -Plane2D

Structură cu lățime mare, pentru care se poate considera că deformația și solicitarea este identică în toate secțiunile transversale (stare plană de deformații)

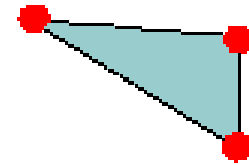


Element de solid de revoluție cu încărcare axial-simetrică
Element cu 4 noduri (tip suprafață) - quad -Plane2D

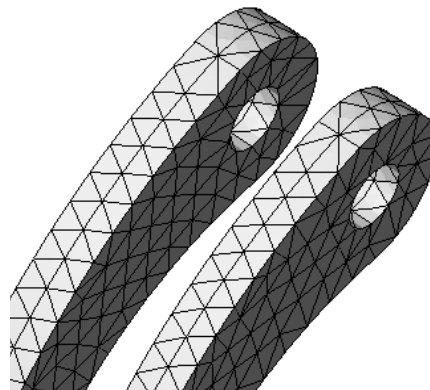
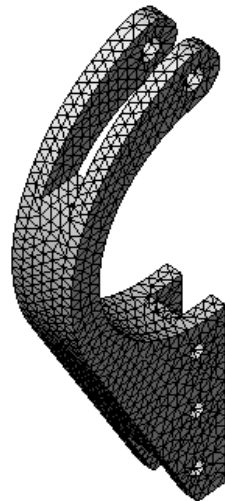
Solid de revoluție cu încărcare simetrică



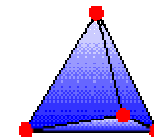
Piesă din tablă (se modelează ca o suprafață)



Element de înveliș - shell (tip suprafață) cu 3 noduri



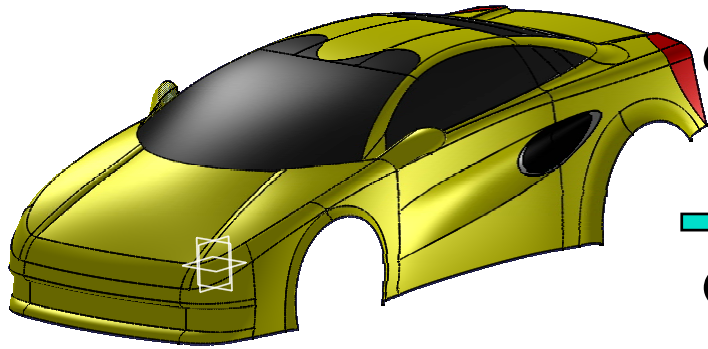
Piesă masivă (se modelează 3D)



Element de solid - tetra (tip volum) cu 4 noduri

Metoda Elementului Finit (MEF)

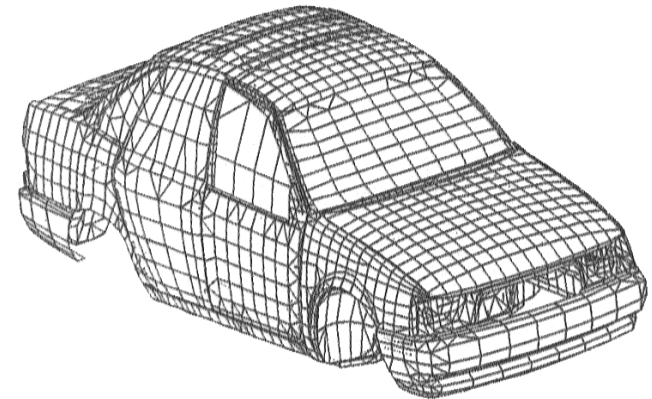
Continuum



Discretizare
Material
Geometria
elementului



Condiții de
frontieră
Încărcări



$$\{F_i\} = [K] * \{\delta_i\}$$

Sistem de ecuații cu n necunoscute

$[K]$ = Matricea de rigiditate a structurii

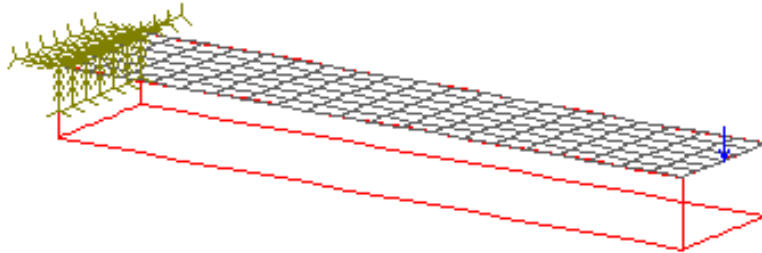
$\{\delta_i\}$ = Vectorul deplasărilor în nodurile
structurii

$\{F_i\}$ = Vectorul încărcărilor structurii
(aplicate în noduri)

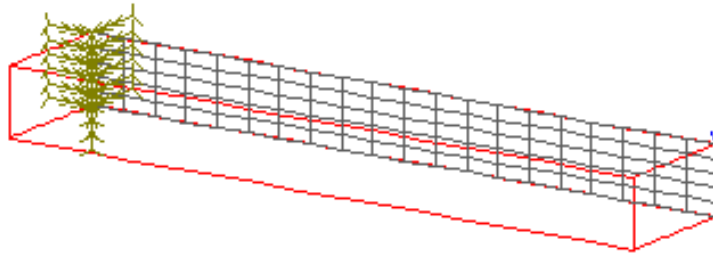
Grindă încastrată, sollicitată de o forță transversală concentrată

$b \times h \times L = 20 \times 10 \times 100$ [mm]; $E = 2,1 \cdot 10^5$ [MPa]; $F = 100$ [N]

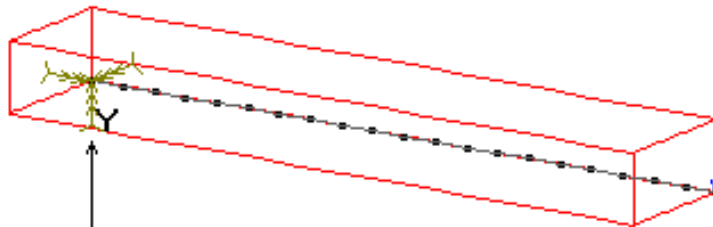
Variante de abstractizare și discretizare



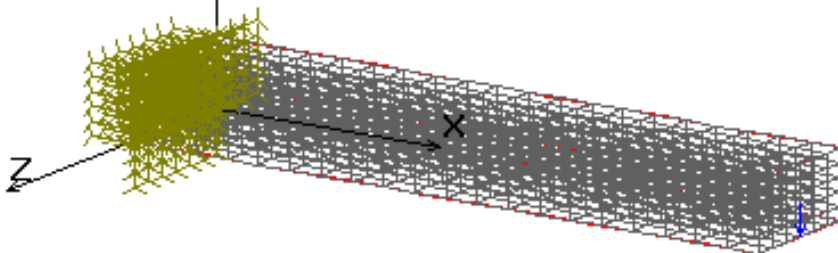
Elemente de placă cu grosimea h
- shell 120 elemente 147 noduri



Elemente de stare plană de deformății
Plane2D- 100 elemente 127 noduri



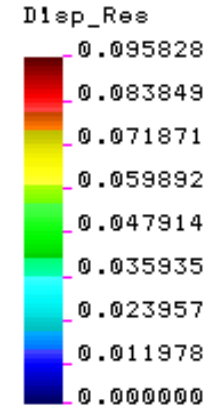
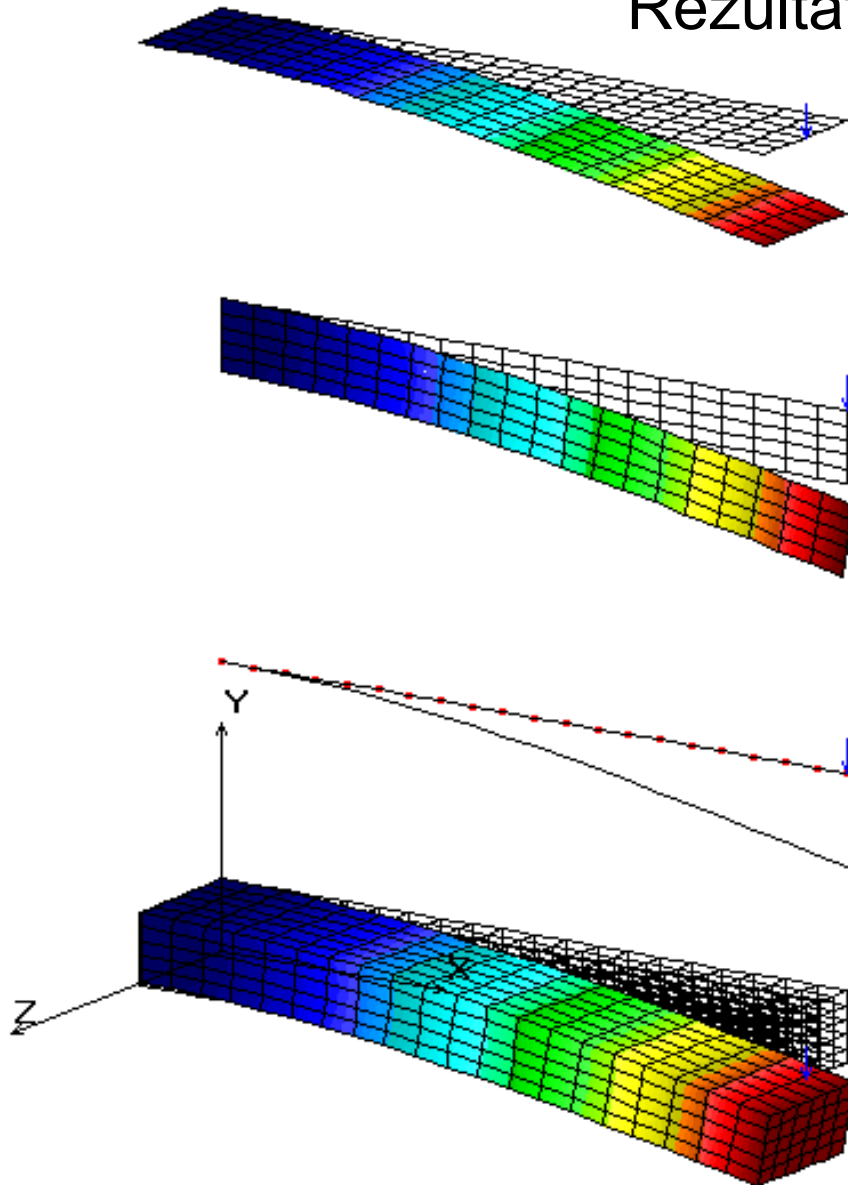
Elemente tip linie, de grindă sollicitată
la încovoiere, (caracterizată de $I = bh^3/12$)
beam - 20 elemente 21 noduri



Elemente paralelipipedice de volum
solid- 600 elemente 1175 noduri

Grindă încastrată, sollicitată de o forță transversală concentrată

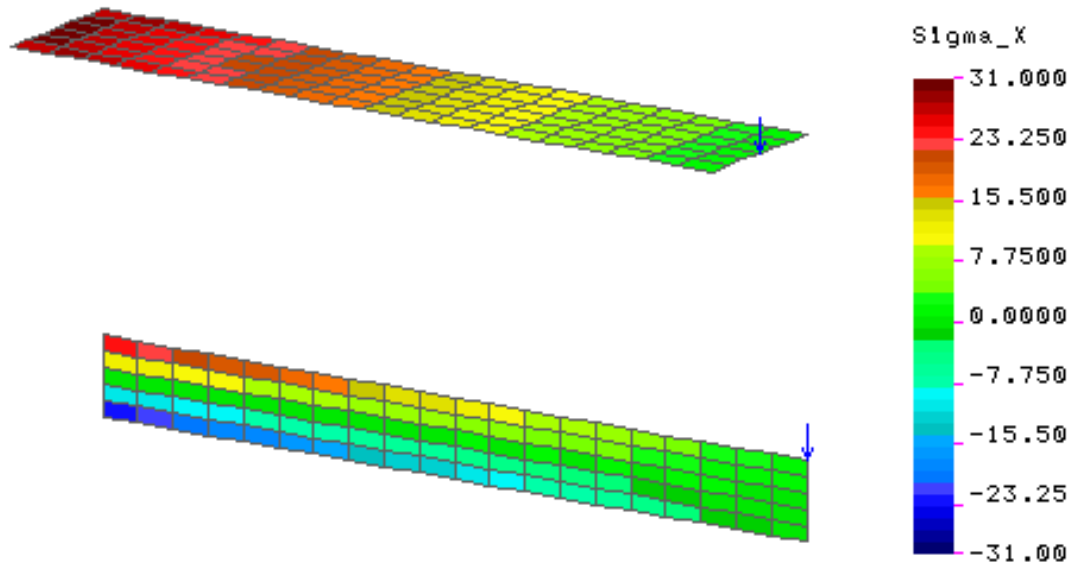
Rezultate pentru deplasări



Soluția analitică corespunzătoare teoriei de bară:

$$f_{\max} = \frac{FL^3}{3EI} = \frac{100 \cdot 100^3 \cdot 12}{3 \cdot 2,1 \cdot 10^5 \cdot 20 \cdot 10^3} = 0,0952 \text{ [mm]}$$

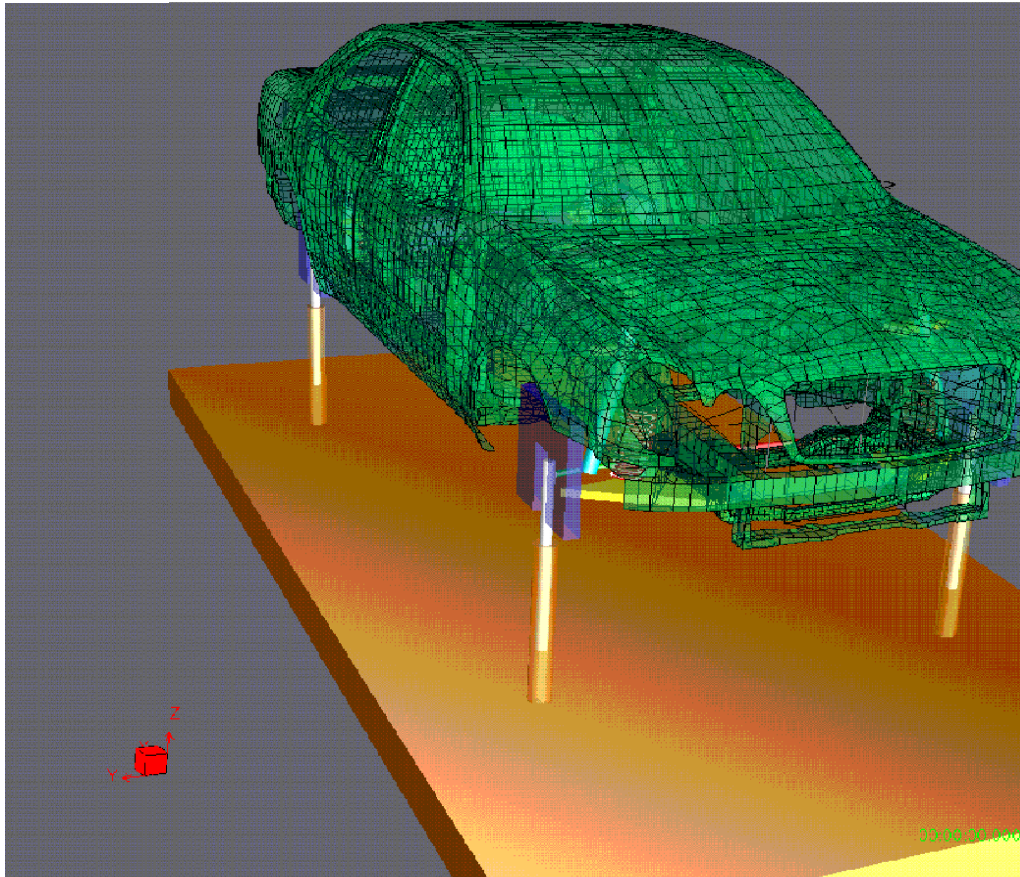
Grindă încastrată, sollicitată de o forță transversală concentrată



Rezultate pentru
tensiunile σ_x

Soluția analitică corespunzătoare
teoriei de bară:

$$\begin{aligned}\sigma_{\max} &= \frac{M}{W} = \frac{FL}{bh^2/6} = \\ &= \frac{100 \cdot 100 \cdot 6}{20 \cdot 10^2} = 30 \text{ [MPa]}\end{aligned}$$

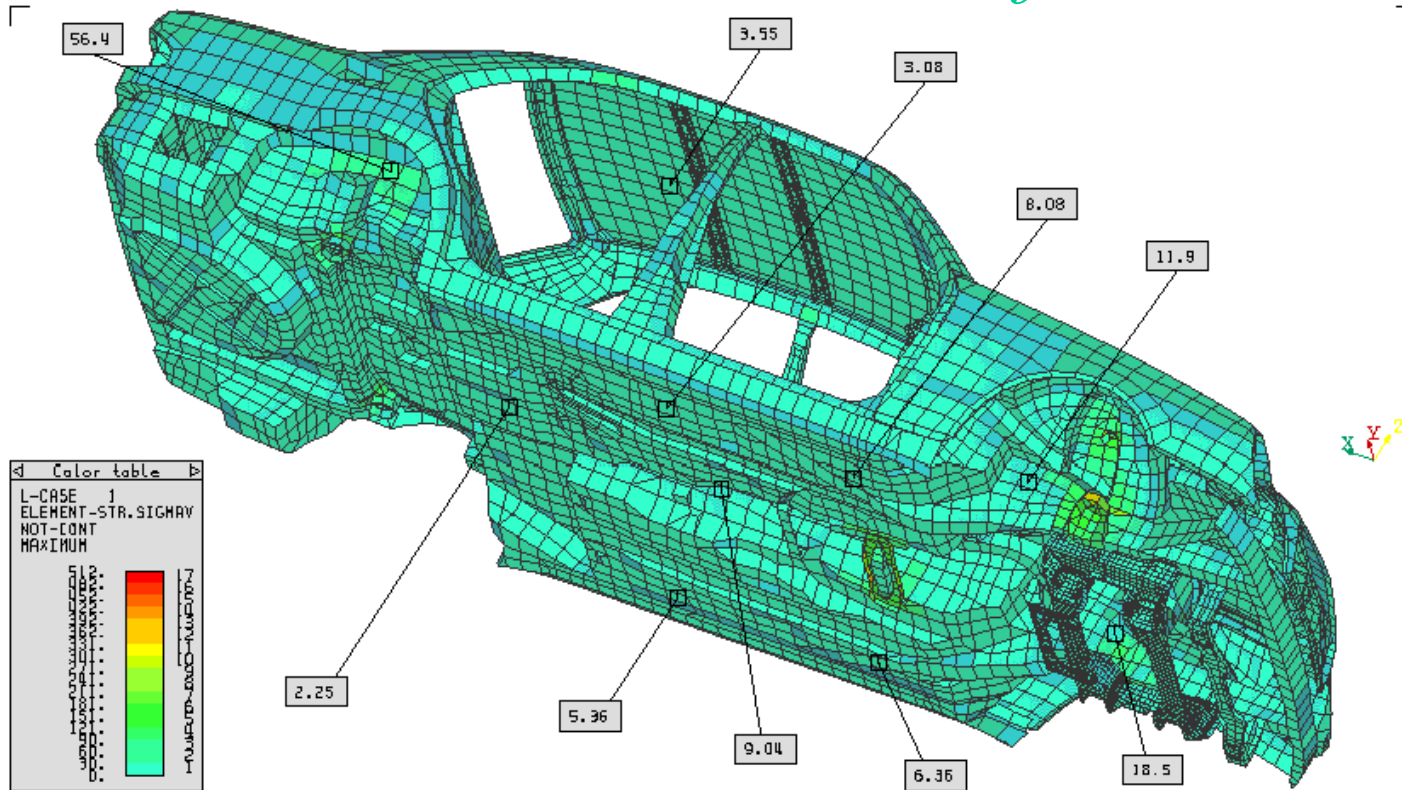


**Simularea încărcării
șasiului pe un banc de
probă (50.000 nodes)**

*** FE-Kongress Baden-Baden, 1998**



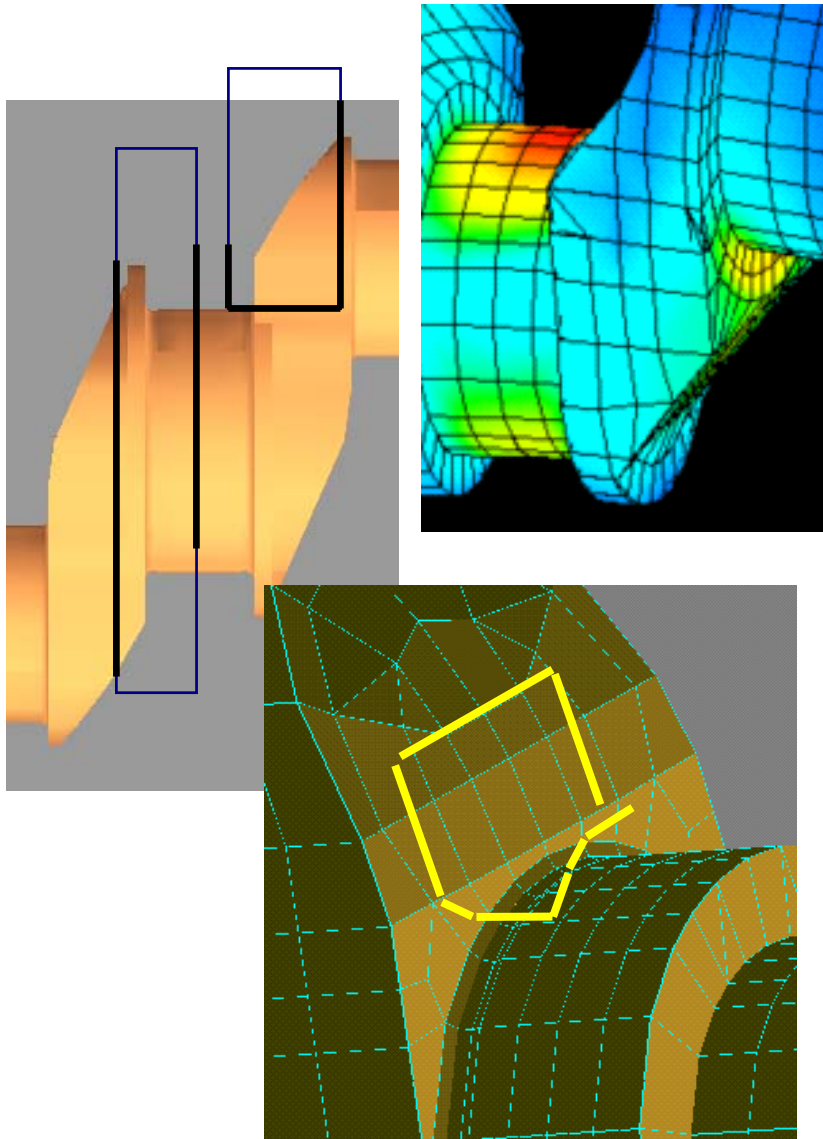
Static Load Transfer



W210
Spannungsverlauf
statische Rechnung, Zeitpunkt 1

UENAL
30.4.98

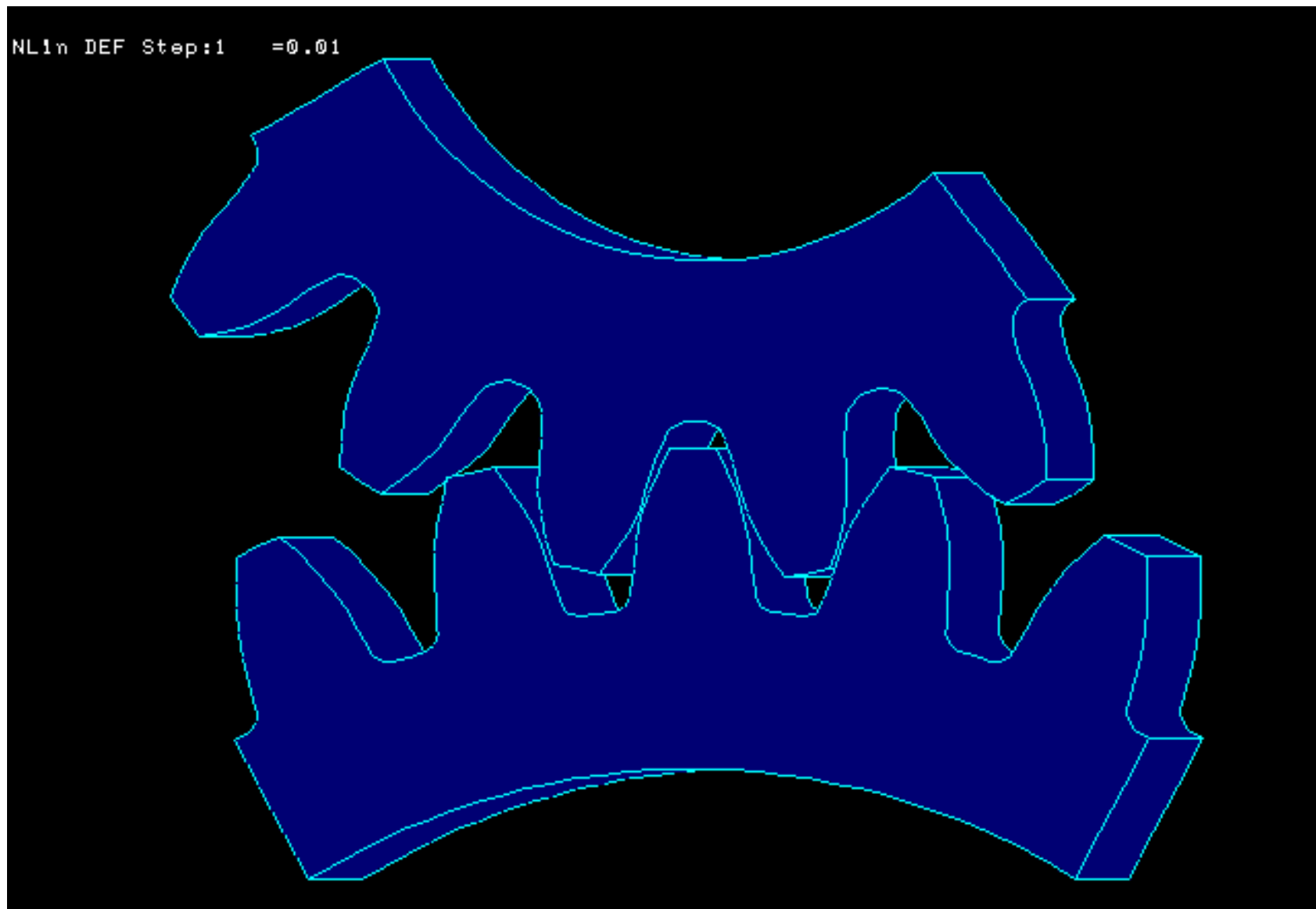
Limitări: de exemplu la analiza tensiunilor

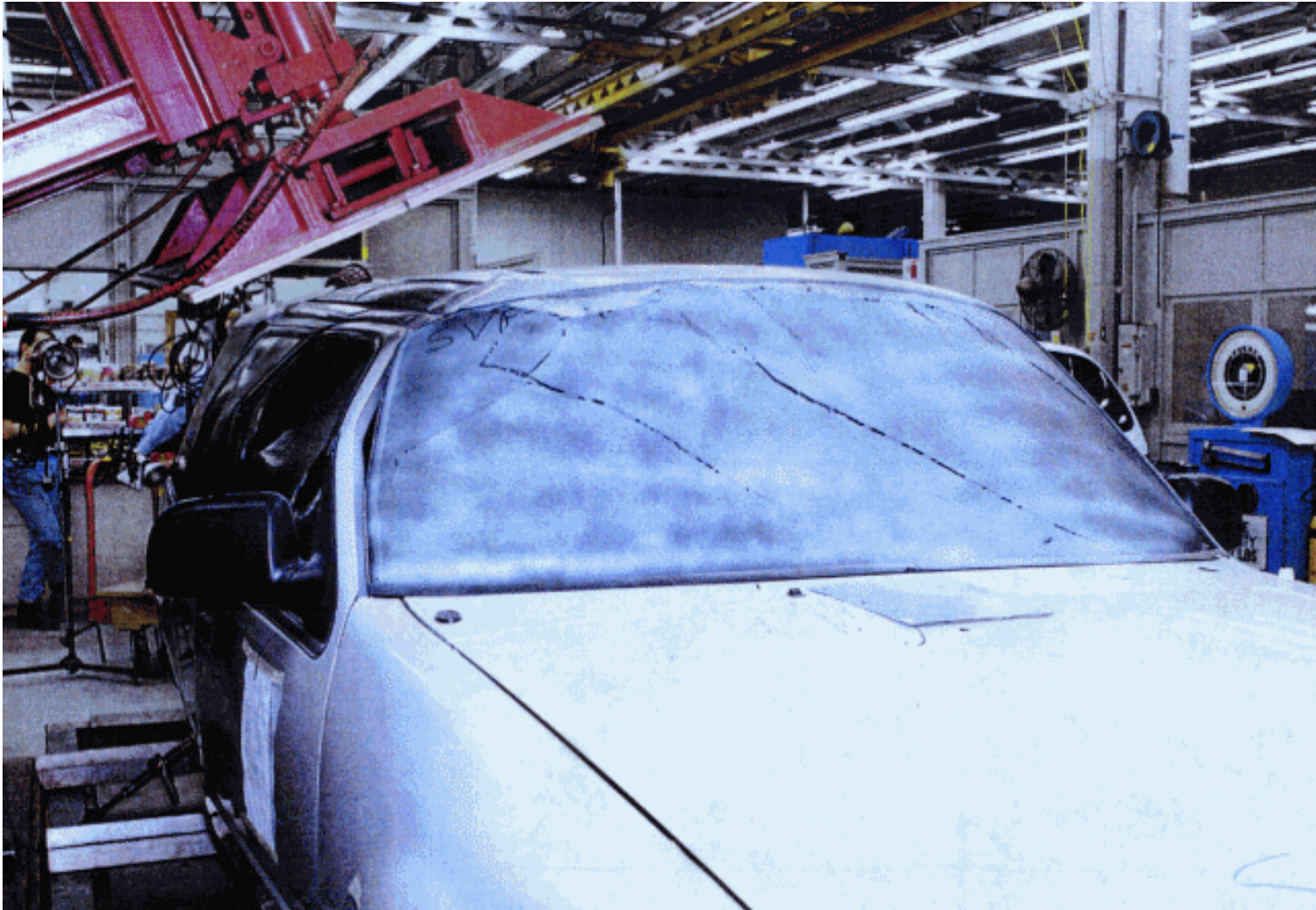


Persistă probleme pentru analiza modelelor de tip solid: un exemplu concret - arborele cotit

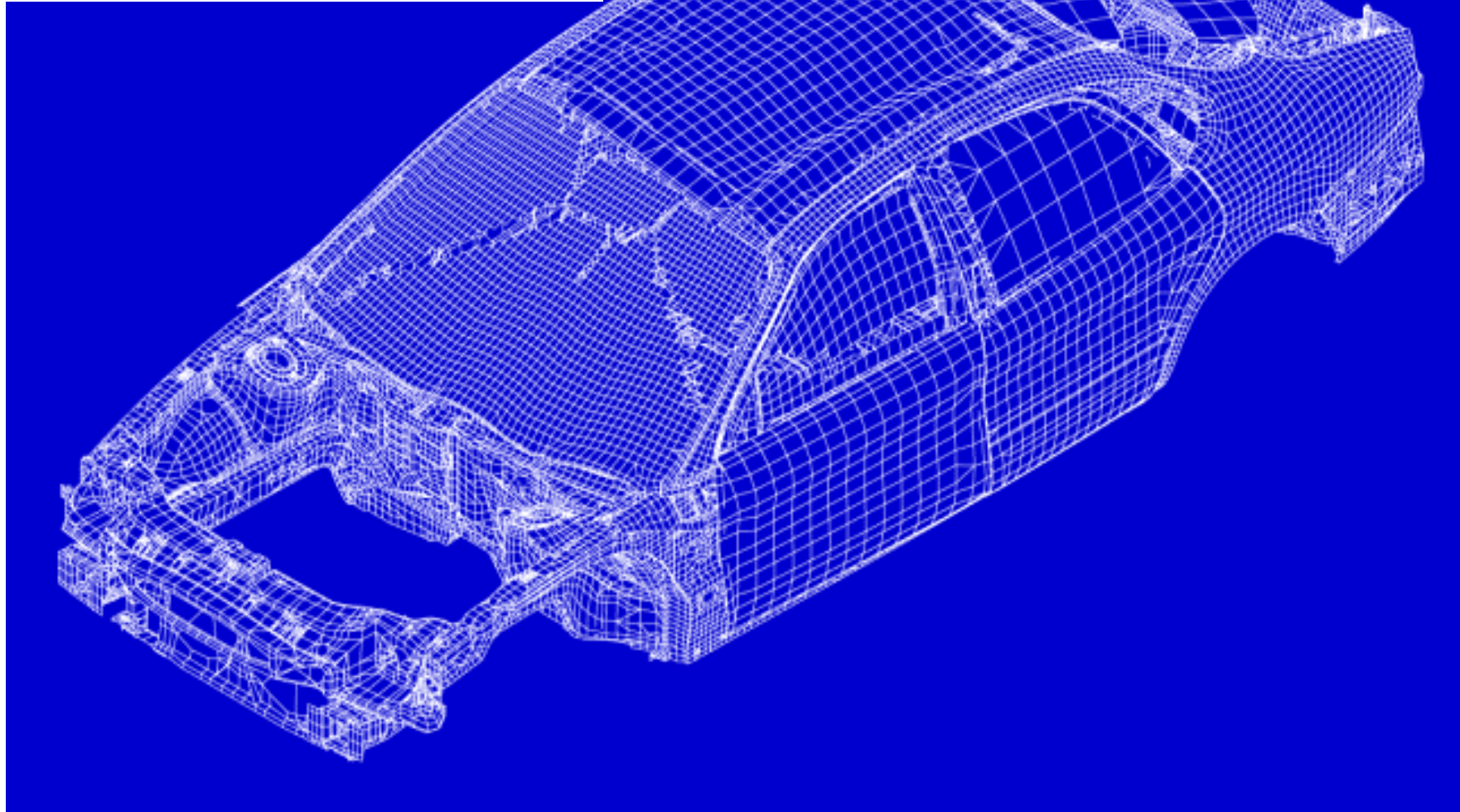
- mărimea modelului : chiar și 1.000.000 noduri se dovedesc a fi o discretizare prea grosieră pentru zonele cu concentratori de tensiuni - de exemplu zona racordării marcată în medalion

Astfel de aspecte pot fi tratate eficient pentru părți ale modelului

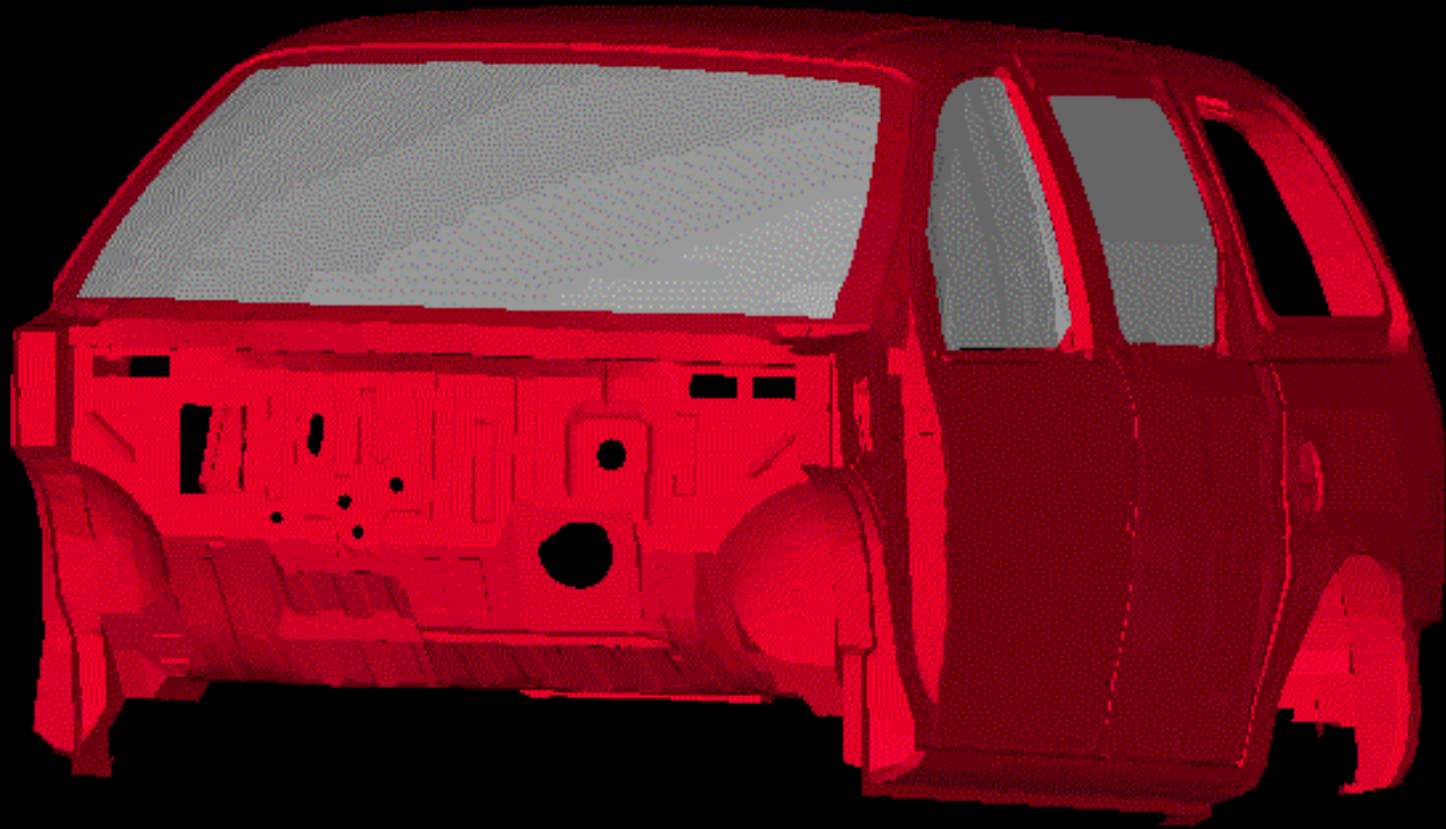




Modelul original PATRAN/NASTRAN pentru aceasta caroserie a fost citit de translatorul de date NASTRAN - ADINA și convertit în modelul prezentat în figură.



ADINA



Comparație a rezultatelor experimentale cu datele furnizate de ADINA, pentru modelul analizat

Roof crush analysis

